

ห้องสมุดงานวิจัย สำนักงานคณะกรรมการการวิจัยแห่งชาติ



208812



การพัฒนาประสิทธิภาพแห้งแบบทันทีในกระบวนการผลิตกระดาษสา

ของอุตสาหกรรมกระดาษสาที่ก่อตัวริมแม่น้ำเจ้าพระยา

THE EFFICIENCY IMPROVEMENT OF BAGASSE PRE-DRYER
IN PARTICLE BOARD INDUSTRY

นพดล ธรรมรงค์ บุญเรือง

จิตอาสาเพื่อสังคมไทย วิทยากรและศิลปินแห่งชาติ

มหาวิทยาลัยราชภัฏสวนสุนันทา

ว.พ. 2554

b00256851

ห้องสมุดงานวิจัย สำนักงานคณะกรรมการรัฐบาลชั่วคราว



208812



การเพิ่มประสิทธิภาพเตาอบแห้งขันตันในระบบการอบแห้งชานอ้อย¹
ของอุตสาหกรรมปาร์ติเกลบอร์ด

THE EFFICIENCY IMPROVEMENT OF BAGASSE PRE-DRYER
IN PARTICLE BOARD INDUSTRY



นายสิทธิพร สมกรพย়

วิทยานิพนธ์ปริญญาวิศวกรรมศาสตรมหาบัณฑิต
มหาวิทยาลัยขอนแก่น

พ.ศ. 2554

การเพิ่มประสิทธิภาพเตาอบแห้งขั้นต้นในระบบการอบแห้งชานอ้อย
ของอุตสาหกรรมปาร์ติเกลนอร์ด

นายสิทธิพร สมกรรพย์

วิทยานิพนธ์นี้เป็นส่วนหนึ่งของการศึกษาตามหลักสูตรปริญญาวิศวกรรมศาสตรมหาบัณฑิต
สาขาวิศวกรรมพลังงาน
บัณฑิตวิทยาลัย มหาวิทยาลัยขอนแก่น
พ.ศ. 2554

**THE EFFICIENCY IMPROVEMENT OF BAGASSE PRE-DRYER
IN PARTICLE BOARD INDUSTRY**

MR. SITTIPORN SOMSAP

**A THESIS SUBMITTED IN PARTIAL FULFILLMENT OF THE REQUIREMENTS
FOR THE DEGREE OF MASTER OF ENGINEERING
IN ENERGY ENGINEERING
GRADUATE SCHOOL KHON KAEN UNIVERSITY**

2011



ใบรับรองวิทยานิพนธ์
มหาวิทยาลัยขอนแก่น
หลักสูตร
วิศวกรรมศาสตรมหาบัณฑิต
สาขาวิชาวิศวกรรมพลังงาน

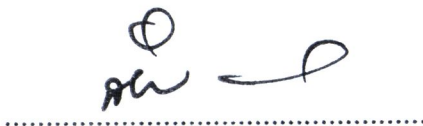
ชื่อวิทยานิพนธ์ : การเพิ่มประสิทธิภาพเตาอบแห้งขันตันในระบบการอบแห้งชานอ้อย
ของอุตสาหกรรมปาร์คเกิลบอร์ค

ชื่อผู้ทำวิทยานิพนธ์ : นายสิทธิพร สมทรัพย์

คณะกรรมการสอบวิทยานิพนธ์ : ผศ.ดร. อุดมย์ จารยะเลิศอุดมย์ ประธานกรรมการ
รศ.ดร. รัชพล สันติวรากร กรรมการ
ผศ.ดร. ฉัตรชัย เบญจปียะพร กรรมการ

อาจารย์ที่ปรึกษาวิทยานิพนธ์ :

 อาจารย์ที่ปรึกษา
(รองศาสตราจารย์ ดร. รัชพล สันติวรากร)


(รองศาสตราจารย์ ดร. ลำปาง แม่นมาตย์)
คณบดีบัณฑิตวิทยาลัย


(รองศาสตราจารย์ ดร. สมนิษฐ์ ศิริกุลพิสุทธิ์)
คณบดีคณะวิศวกรรมศาสตร์

ลิขสิทธิ์ของมหาวิทยาลัยขอนแก่น

สิทธิพร สมทรัพย์ 2554. การเพิ่มประสิทธิภาพเตาอบแห้งขันตันในระบบการอบแห้งชานอ้อยของอุตสาหกรรม
ปาร์คิเกลนอร์ด. วิทยานิพนธ์ปริญญาวิศวกรรมศาสตรมหาบัณฑิต สาขาวิชาวิศวกรรมเพลิงงาน
บัณฑิตวิทยาลัย มหาวิทยาลัยขอนแก่น.

อาจารย์ที่ปรึกษาวิทยานิพนธ์: รองศาสตราจารย์ ดร. รัชพล สันติรากร

บทคัดย่อ

208812

งานวิจัยนี้ได้นำเสนอวิธีการศึกษาประสิทธิภาพการอบแห้งชานอ้อยและศึกษาแนวทางลดการใช้เชื้อเพลิงของระบบอบแห้งชานอ้อยโดยทำการตรวจสอบอุณหภูมิ ปริมาณเชื้อเพลิง ปริมาณออกซิเจนในก๊าซไออกซิเจน ปริมาณความร้อนที่ต้องการในการอบแห้งและใช้หลักสมดุลพลังงานความร้อนในการหาประสิทธิภาพการอบแห้ง จากนั้นดำเนินการปรับปรุงเพื่อเพิ่มประสิทธิภาพของระบบการอบแห้งชานอ้อยขึ้นตันโดยการหุ้มฉนวนกันความร้อนด้วยฉนวนไข่แก้วที่มีความหนาแน่น 38 kg/m^3 ค่าสภาพการนำความร้อน $0.032 \text{ W/m. หนา } 75 \text{ mm}$ และการพัฒนาระบบอัตโนมัติในการปรับร้อนความเร็วของระบบลำเลียงผุ้นชานอ้อยก่อนเข้าสู่เตาเผาใหม่ โดยมีความสัมพันธ์ระหว่างความเร็วของระบบลำเลียงผุ้นชานอ้อย (y) ให้หมายความกับความชื้นของชานอ้อย (x) ตามความสัมพันธ์แบบสมการเชิงเส้น $y = 35.70x - 1005$ จากผลการศึกษาพบว่าหลังการปรับปรุง ประสิทธิภาพรวมของระบบการอบแห้งชานอ้อยขึ้นตันเพิ่มขึ้น 10.09% จาก 45.61% เป็น 55.70% คิดเป็นปริมาณความร้อนที่ประหัดได้ $2,026 \text{ MJ/h.}$ สามารถประหัดเชื้อเพลิงได้ 119.53 kg/h คิดเป็น ร้อยละ 19.48% ของปริมาณการใช้เชื้อเพลิงทั้งหมด เมื่อราคาผุ้นชานอ้อยเท่ากับ 0.3 บาท/กิโลกรัม และต้นทุนในการปรับปรุงระบบทั้งหมดเป็น $92,402 \text{ บาท}$ จะสามารถประหัดค่าใช้จ่ายด้านเชื้อเพลิงได้ $258,184.8 \text{ บาท/ปี}$ คิดเป็นระยะเวลาคืนทุน 0.36 ปี

Sittiporn Somsap. 2011. **The Efficiency Improvement of Bagasse Pre-dryer in Particle Board Industry,**

Master of Engineering Thesis in Energy Engineering, Graduate School, Khon Kaen University.

Thesis Advisor: Assoc.Prof. Dr.Ratchaphon Suntivarakorn

ABSTRACT

208812

This research presents a method to determine an efficiency of bagasse drying and to find a way to reduce a fuel consumption of bagasse drying. The temperature of hot air and bagasse, fuel consumption and % oxygen of exhaust gas were measured to find the efficiency of drying process. The principle of energy balance was used in this study in order to analysis the energy efficiency. Then, two energy measure were studied to improve the efficiency of Pre-dryer system. First, insulator was installed at the old furnace from fiberglass with the thickness of 75 mm. The density and thermal conduction of the insulator were 38 kg/m^3 and 0.032 W/m , respectively. Second, The automatic system to adjust the speed cycle of the bagasse dust conveyor before entering the furnace was developed and applied in the system by controlling the speed cycle of the bagasse dust conveyor (y) and the bagasse moisture content (x) as the relationship of linear equations $y = 35.70x - 1005$. From the study, The results showed the total efficiency of bagasse drying system after improvement was increased 10.09 %. from 45.61 % to 55.70 %. This can save the energy about 2,026 MJ/h. or 93.77 kg. of fuel per hour. If the price of bagasse dust is 0.3 baht/kg and the investment cost is 92,402 bath, There two energy improvement method can reduce the energy openness about 258,184.8 baht/year. and a payback period is 0.36 year.

กิตติกรรมประกาศ

ความสำเร็จลุล่วงของวิทยานิพนธ์นี้เกิดขึ้นมาได้ ถ้าหากไม่ได้รับความกรุณาอย่างยิ่งจาก อาจารย์ รัชพล สันติรากร ที่ปรึกษาวิทยานิพนธ์ของผู้เขียน ที่ได้ให้ความช่วยเหลือสนับสนุนให้คำปรึกษา ชี้แนะ แนวทางและความช่วยเหลือต่างๆ อันเป็นประโยชน์ รวมถึงการตรวจแก้ไขข้อบกพร่องต่างๆ ด้วยความเอาใจใส่ และ ผศ.อคุลย์ จรรยาเดิศอคุลย์ ในฐานะประธานกรรมการผู้ทรงคุณวุฒิในการสอบวิทยานิพนธ์และทราบ ข้อพระคุณ ผศ.ดร.นัตรชัย เบญจปีบะพร ในฐานะกรรมการผู้สอบวิทยานิพนธ์

กราบขอบพระคุณบริษัท พาเนล พลัส จำกัด ที่สนับสนุนสถานที่และเครื่องมืออุปกรณ์ในการศึกษาวิจัย โดยเฉพาะอย่างยิ่ง คุณอาทิตย์ ประสาสม ผู้จัดการ โรงงาน และ พีรพล นามปัญญา วิศวกรแผนกผลิต 1 รวมถึง พี่วิภาวดีและพนักงานทุกท่าน ที่ให้ความกรุณาอำนวยความสะดวกในด้าน ข้อมูล การจัดทำ การติดตั้งอุปกรณ์ และการจัดเก็บข้อมูล

กราบขอบพระคุณสำนักงานกองทุนสนับสนุนการวิจัยทุนวิจัยมหาบัณฑิต ศกว. สาขาวิชาศาสตร์และ เทคโนโลยี ทุน ศกว.-อุดสาหกรรม ประจำปี 2552 ที่สนับสนุนทุนวิจัยในการทำวิจัยเรื่องนี้

ขอขอบคุณพี่น้องชาววิชาชีวทุกคนที่สนับสนุนช่วยเหลืองานวิจัยจนสำเร็จลุล่วงด้วยดี โดยเฉพาะอย่างยิ่ง พี่คุณและพี่ปัง ผู้คุยให้คำปรึกษาและกำลังใจ

ท้ายนี้ กราบขอบพระคุณครอบครัวที่คอยช่วยเหลือและให้กำลังใจ ซึ่งเป็นกำลังใจสำคัญยิ่งในการศึกษาและการทำวิทยานิพนธ์จนสำเร็จลุล่วงไปได้ด้วยดี

สิทธิพร สมทรพย์

สารบัญ

	หน้า
บทคัดย่อภาษาไทย	ก
บทคัดย่อภาษาอังกฤษ	ข
กิตติกรรมประกาศ	ค
สารบัญตาราง	ช
สารบัญภาพ	ฉ
บทที่ 1 บทนำ	1
1.1 ความเป็นมาและความสำคัญของเรื่อง	1
1.2 การพัฒนาโครงการร่วมกับผู้ประกอบการ	2
1.3 วัตถุประสงค์ของงานวิจัย	2
1.4 ระเบียบวิจัย	2
1.5 ประโยชน์ของงานวิจัย	3
1.6 แผนการทำงาน (18 เดือน)	4
บทที่ 2 ทบทวนวรรณกรรม	5
2.1 การผลิตน้ำตาลทราย	5
2.2 ชานอ้อย	8
2.3 กระบวนการอบแห้งชานอ้อยขันพื้นฐาน (Pre-drying)	9
2.4 ส่วนป้อนชีมวลเข้าสู่เตาเผาชีมวลจากฝุ่นชานอ้อย (Furnace)	10
2.5 ส่วนห้องเผาใหม่	15
2.6 ส่วนดักฝุ่นละอองและอนุภาคแข็งก่อนการอบแห้งชานอ้อย	17
2.7 ถังยนต์ของการอบแห้ง	19
2.8 การวิเคราะห์เชื้อเพลิง	20
2.9 งานวิจัยที่เกี่ยวข้อง	22
บทที่ 3 การผลิตแผ่นปาร์ติเกลบอร์ดจากชานอ้อย	25
3.1 ผลิตภัณฑ์ของอุตสาหกรรมแผ่นไม้วิทยาศาสตร์	25
3.2 ความเหมาะสมในการนำแผ่นปาร์ติเกลไปใช้งาน	27
3.3 การผลิตแผ่นปาร์ติเกลบอร์ดจากชานอ้อย	28
3.4 กระบวนการปิดผิวหน้าแผ่นปาร์ติเกลด้วย Melamine Paper	30

สารบัญ (ต่อ)

	หน้า
บทที่ 4 การวิเคราะห์ประสิทธิภาพการทำงานของการอบแห้งชานอ้อยขั้นต้น (Pre-drying)	32
4.1 กำหนดค่ามาตรฐาน	32
4.2 การวิเคราะห์ประสิทธิภาพ	32
4.3 การหาประสิทธิภาพของเตาเผาชีวน้ำจากผุ่นชานอ้อย (Furnace)	33
4.4 การหาประสิทธิภาพการส่งผ่านความร้อนของเตาเผาเก่า	36
4.5 การหาประสิทธิภาพทางความร้อนของช่วงการอบแห้ง	38
4.6 เครื่องมือที่ใช้ในการตรวจสอบ	39
4.7 วิธีการวิจัย	42
บทที่ 5 แนวทางการปรับปรุงเพื่อเพิ่มประสิทธิภาพการทำงานของการอบชานอ้อยขั้นต้น (Pre-drying)	46
5.1 การหุ้มด่วนกันความร้อนที่เตาเผาเก่า (Old furnace)	46
5.2 การพัฒนาระบบอัตโนมัติในการปรับรอบความเร็วของระบบลำเลียงผุ่นชานอ้อย ตามปริมาณความชื้นของชานอ้อยก่อนอบ	61
บทที่ 6 ผลการทดลอง	70
6.1 ประสิทธิภาพการอบแห้งก่อนปรับปรุง	70
6.2 ประสิทธิภาพการอบแห้งหลังปรับปรุง	73
6.3 ผลการหุ้มด่วนกันความร้อนที่เตาเผาเก่า (Old furnace)	75
6.4 ผลการทดสอบระบบอัตโนมัติในการปรับรอบความเร็วของระบบลำเลียง ตามปริมาณความชื้นของชานอ้อยก่อนอบ	78
บทที่ 7 สรุปและข้อเสนอแนะ	87
7.1 สรุปผล	87
7.2 ข้อเสนอแนะ	87
บรรณานุกรม	88
ภาคผนวก	91
ภาคผนวก ก เตาอบแห้งชานอ้อยขั้นต้น (Pre-dryer)	92
ภาคผนวก ข ตารางการวิเคราะห์เชื้อเพลิงผุ่นชานอ้อย	97
ภาคผนวก ค ตารางบันทึกผลการตรวจวัด วันที่ 9 -10 เมษายน 2553	99
ภาคผนวก ง ตารางบันทึกผลการตรวจวัด วันที่ 3,4,5,15 ตุลาคม 2553	102
ภาคผนวก จ ตารางการวิเคราะห์หาประสิทธิภาพก่อนการปรับปรุงของเตาอบแห้ง ชานอ้อยขั้นต้น (Pre-dryer)	107

สารบัญ (ต่อ)

	หน้า
ภาคผนวก ๙ ตารางการวิเคราะห์หาประสิทธิภาพหลังการปรับปรุงของเตาอบแห้ง	115
ของเตาอบแห้งชานอ้อยขันดัน (Pre-dryer)	
ภาคผนวก ๑๐ การคาดการณ์ผลประยุกต์จากการหุ่มฉนวนที่เตาเผาแก่	130
ภาคผนวก ๑๑ ความสัมพันธ์ความเร็วอบของระบบลำเลียงฝุ่นชานอ้อยที่เหมาะสมกับ	135
ความชื้นชานอ้อยเข้า	
การเผยแพร่ผลงานวิทยานิพนธ์	144
ประวัติผู้เขียน	145

สารบัญตาราง

	หน้า
ตารางที่ 1 แผนการทำงาน (18 เดือน)	4
ตารางที่ 5.1 ผลลัพธ์ที่ได้จากการคำนวณหาความหนาแน่นวนที่เหมาะสมโดยวิธี Trial and error	58
ตารางที่ 5.2 การคำนวณหาความเร็วอบของระบบลำเลียงผุ่นชานอ้อยที่เหมาะสมกับความชื้นชานอ้อยเข้า (ภาคผนวก-ช)	65
ตารางที่ 6.1 สรุปผลการคำนวณประสิทธิภาพของกระบวนการอบชานอ้อยขั้นต้น (Pre-drying) ก่อนการปรับปรุงจากข้อมูลวันที่ 9 - 10 เม.ย. 2553	71
ตารางที่ 6.2 การเปรียบเทียบประสิทธิภาพทางความร้อนในกระบวนการอบแห้งชานอ้อยก่อน และหลังการปรับปรุง	74
ตารางที่ 6.3 ผลการทดลองของหัวไฟอบวัดความชื้นเพียงกับเครื่องมือวัดความชื้น โดยเครื่องวัดความชื้นและอุณหภูมิของไม้แบบเข้มเจาะ ข้อมูลที่ได้จากการตรวจวัดวันที่ 3,4,5,15 ตุลาคม 2553 (ภาคผนวก-ง)	78
ตารางที่ 6.4 การหาค่าคงเหลือของแต่ละความเร็วอบระบบลำเลียงผุ่นชานอ้อยหลังการปรับปรุงให้สัมพันธ์กับค่าความชื้นเข้าของชานอ้อยก่อน	80
ตารางที่ 6.5 การหาค่าคงเหลือของแต่ละความเร็วอบระบบลำเลียงผุ่นชานอ้อยหลังการปรับปรุงให้สัมพันธ์กับค่าความชื้นเข้าของชานอ้อยก่อน	86
ตารางที่ ช-1 ตารางวิเคราะห์เชือเพลิงผุ่นชานอ้อย	98
ตารางที่ ค-1 ตารางบันทึกผลการตรวจวัด วันที่ 9 เมษายน 2553	100
ตารางที่ ค-2 ตารางบันทึกผลการตรวจวัด วันที่ 10 เมษายน 2553	101
ตารางที่ ง-1 ตารางบันทึกผลการตรวจวัด วันที่ 3 ตุลาคม 2553	103
ตารางที่ ง-2 ตารางบันทึกผลการตรวจวัด วันที่ 4 ตุลาคม 2553	104
ตารางที่ ง-3 ตารางบันทึกผลการตรวจวัด วันที่ 5 ตุลาคม 2553	105
ตารางที่ ง-4 ตารางบันทึกผลการตรวจวัด วันที่ 15 ตุลาคม 2553	106
ตารางที่ จ-1 การหาความร้อนเข้าสู่ระบบก่อนการปรับปรุง (Q_1)	108
ตารางที่ จ-2 การหาความร้อนออกที่จะนำไปใช้ประโยชน์ก่อนการปรับปรุง (Q_2)	109
ตารางที่ จ-3 การหาประสิทธิภาพทางความร้อนของเผาชีวมวลจากชานอ้อย ก่อนการปรับปรุง (Furnace)	110
ตารางที่ จ-4 การหาความร้อนของไอเสียก่อนเข้าช่วงการอบแห้งขั้นต้นก่อนการปรับปรุง (Q_3)	111
ตารางที่ จ-5 การหาประสิทธิภาพการส่งผ่านความร้อนของเตาแก๊ก่อนการปรับปรุง (Old furnace)	112
ตารางที่ จ-6 การหาค่าความร้อนที่ใช้ในการระเหยนำออกจากชานอ้อยก่อนการปรับปรุง (Q_4)	113
ตารางที่ จ-7 การหาค่าประสิทธิภาพของช่วงการอบแห้งขั้นต้นก่อนการปรับปรุง (Drying chamber)	114
ตารางที่ ฉ-1 การหาความร้อนเข้าสู่ระบบหลังการปรับปรุง (Q_1)	116

สารบัญตาราง (ต่อ)

	หน้า
ตารางที่ ฉ-2 การหาความร้อนออกที่จะนำไปใช้ประโยชน์หลังการปรับปรุง (Q_2)	118
ตารางที่ ฉ-3 การหาประสิทธิภาพทางความร้อนของเผาซีมวลจากชานอ้อย หลังการปรับปรุง (Furnace)	120
ตารางที่ ฉ-4 การหาความร้อนของไอเสียก่อนเข้าช่วงการอบแห้งขั้นต้นหลังการปรับปรุง (Q_3)	122
ตารางที่ ฉ-5 การหาประสิทธิภาพการส่งผ่านความร้อนของเตาเผาเก่าหลังการปรับปรุง (Old furnace)	124
ตารางที่ ฉ-6 การหาค่าความร้อนที่ใช้ในการระเหยน้ำออกจากชานอ้อยหลังการปรับปรุง (Q_4)	126
ตารางที่ ฉ-7 การหาค่าประสิทธิภาพของช่วงการอบแห้งขั้นต้นหลังการปรับปรุง (Drying chamber)	128
ตารางที่ ช-1 การหาความร้อนสูญเสียจากเตาเผาเก่าเปลือย (ก่อนการปรับปรุง)	131
ตารางที่ ช-2 การคำนวณเพื่อประมาณอุณหภูมิผิวของเตาเผาเก่าเมื่อหุ้มฉนวนไข่แก้วหนา 75 mm.	132
ตารางที่ ช-3 การคำนวณความสูญเสียความร้อนของเตาเผาเก่าเมื่อหุ้มฉนวนไข่แก้วหนา 75 mm.	133
ตารางที่ ช-4 การคำนวณหาประสิทธิภาพภายหลังการหุ้มฉนวน	134
ตารางที่ ช-1 ข้อมูลความเร็วรอบระบบลำเลียงฝุ่นชานอ้อยกับความชื้นชานอ้อย วันที่ 1-10 เมษายน 2553	136
ตารางที่ ช-2 การคำนวณหาความเร็วรอบของระบบลำเลียงฝุ่นชานอ้อยที่เหมาะสม กับความชื้นชานอ้อยเข้า	141
ตารางที่ ช-3 ปริมาณเชือเพลิงที่คาดว่าจะประหยัดได้หลังจากการปรับความเร็วรอบของระบบลำเลียง	143

สารบัญภาพ

	หน้า
ภาพที่ 1.1 ระบบวิชีวิจัย	3
ภาพที่ 2.1 ขบวนการผลิตน้ำตาลคิบจากอ้อย	7
ภาพที่ 2.2 ขบวนการผลิตน้ำตาลรีไฟฟ์จากอ้อย	7
ภาพที่ 2.3 เตาอบแห้งชานอ้อยขันตัน (Pre-dryer) ประกอบไปด้วย 1 Silo; 2 Blower; 3 Furnace; 4 Cyclone; 5 Ash collector; 6 Old furnace; 7 Bagasse bin; 8 Drying chamber; 9 Cyclone; 10 Blower; 11 Main drying	9
ภาพที่ 2.4 เตาเผาเชื้อเพลิงระบบสโตกเกอร์แบบตะกรันเลื่อน	11
ภาพที่ 2.5 เตาเผาเชื้อเพลิงระบบสโตกเกอร์แบบกระจาบ [6]	11
ภาพที่ 2.6 เตาเผาเชื้อเพลิงระบบสโตกเกอร์ที่เชื้อเพลิงถูกป้อนเข้าสู่เตาทางด้านล่าง	12
ภาพที่ 2.7 เตาเผาเชื้อเพลิงระบบพัลเวอร์ไรซ์	13
ภาพที่ 2.8 เตาเผาเชื้อเพลิงระบบไชโคลน	14
ภาพที่ 2.9 เตาเผาเชื้อเพลิงระบบฟลูอิด ไคซ์เบค	14
ภาพที่ 2.10 เตาเผาชีวนมวลจากฝุ่นชานอ้อย (Furnace)	15
ภาพที่ 2.11 เครื่องดักฝุ่นด้วยไฟฟ้า (Electrostatic precipitator)	17
ภาพที่ 2.12 เครื่องกรองฝุ่นแบบถุงกรอง (Bag filter)	18
ภาพที่ 2.13 เครื่องแยกฝุ่นแบบลมหมุน (Cyclone separator)	18
ภาพที่ 2.14 เส้นลักษณะเฉพาะสำหรับการอบแห้ง [8]	19
ภาพที่ 2.15 เชื้อเพลิงฝุ่นชานอ้อยที่เหลือจากการอบแห้ง	20
ภาพที่ 2.16 ส่วนประกอบของเชื้อเพลิงโดยปริมาณในแต่ละส่วนจะขึ้นกับชนิดของเชื้อเพลิง [9]	21
ภาพที่ 3.1 กระบวนการผลิตแผ่นปาร์ติเกลอบอร์ดจากชานอ้อย [21]	31
ภาพที่ 4.1 กระบวนการอบแห้งชานอ้อยขันตัน (Pre-drying)	32
ภาพที่ 4.2 การวิเคราะห์ทางความร้อนของเตาเผาชีวนมวลจากฝุ่นชานอ้อย (Furnace)	33
ภาพที่ 4.3 ส่วนประกอบของสกรูป้อนเชื้อเพลิง	34
ภาพที่ 4.4 การคำนวณอัตราการขนถ่ายวัสดุ	34
ภาพที่ 4.5 เตาเผาเก่า (Old furnace)	36
ภาพที่ 4.6 การวิเคราะห์ทางความร้อนของช่วงการอบแห้ง	38
ภาพที่ 4.7 เครื่องวัดอุณหภูมิแบบไม่สัมผัสด้วยอินฟราเรด	40
ภาพที่ 4.8 เครื่องเทอร์โมคัปเบลแบบไทยปีก	40
ภาพที่ 4.9 เครื่องวิเคราะห์ก้าชไอเสีย	40
ภาพที่ 4.10 เครื่องวัดความชื้นและอุณหภูมิของไม้แบบเข็มเจาะ	41

สารบัญภาพ (ต่อ)

	หน้า
ภาพที่ 4.11 เครื่องวิเคราะห์ความชื้นแบบอบ	41
ภาพที่ 4.12 เครื่องวัดความรีดลม	41
ภาพที่ 4.13 จุดตรวจในเตาอบแห้งชานอ้อยขันตัน (Pre-dryer)	42
ภาพที่ 4.14 อัตราการลำเลียงผุ่นชานอ้อยเข้าเตาเผา	43
ภาพที่ 4.15 จุดวัดก๊าซไออกซ์เจน (Q_2)	43
ภาพที่ 4.16 จุดวัดก๊าซไออกซ์เจนก่อนเข้าสู่การอบ	44
ภาพที่ 4.17 จุดวัดก๊าซไออกซ์เจนทิ้งหลังการอบ	44
ภาพที่ 4.18 จุดเก็บตัวอย่างชานอ้อยก่อนและหลังการอบ	45
ภาพที่ 5.1 ลักษณะการถ่ายเทความร้อนที่เกิดขึ้นของท่อนำร้อน โดยความร้อนจะเกิดการถ่ายเทสู่อากาศภายนอกในแนวรัศมี และการถ่ายเทความร้อนที่เกิดขึ้นจะเป็นแบบ 1 มิติ	47
ภาพที่ 5.2 ท่อทรงกระบอกยาวที่มีรัศมีภายนอก r_2 และภายใน R_1 อุณหภูมิผิวด้านใน T_1 และด้านนอก T_2	48
ภาพที่ 5.3 วงจรความด้านทานความร้อนของท่อทรงกระบอกมีการพากความร้อนเกิดขึ้นที่ภายในและนอกท่อทรงกระบอก	49
ภาพที่ 5.4 ท่อทรงกระบอกที่มีการหุ้มนวน และบริเวณผิวด้านนอกนวนจะเกิดการพากความร้อน และจะมีวงจรความด้านทานความร้อนเกิดขึ้น	50
ภาพที่ 5.5 การเปลี่ยนแปลงอัตราการถ่ายเทความร้อนที่เกิดขึ้นภายในนวน ในแนวรัศมีของท่อทรงกระบอก	51
ภาพที่ 5.6 เตาเผาเก่าก่อนการหุ้มนวน	53
ภาพที่ 5.7 ลักษณะของวงจรด้านทานความร้อน	54
ภาพที่ 5.8 ภาพสมดุลพลังงานจากการคาดการณ์ผลประหดัคท์ที่เกิดขึ้นจากการหุ้มนวน	60
ภาพที่ 5.9 ความสัมพันธ์ของความเร็วรอบระบบลำเลียงกับความชื้นชานอ้อยก่อนอบ	61
ภาพที่ 5.10 ความสัมพันธ์ของความเร็วรอบระบบลำเลียงกับความชื้นชานอ้อยหลังอบ	62
ภาพที่ 5.11 การวิเคราะห์หาปริมาณเชือเพลิงที่เหมาะสมกับความชื้นชานอ้อยเข้าอบ	63
ภาพที่ 5.12 ความสัมพันธ์ของความเร็วรอบของระบบลำเลียงผุ่นชานอ้อยกับความชื้นก่อนอบของชานอ้อยจากการคำนวณ	66
ภาพที่ 5.13 ขั้นตอนการทำงานของระบบอัตโนมัติ	67
ภาพที่ 5.14 ลักษณะตัวตรวจความชื้นในชานอ้อย [30]	68
ภาพที่ 5.15 วงจรแปลงสัญญาณไฟฟ้า 0 - 5 v to 4 - 20 mA. [31]	69

สารบัญภาพ (ต่อ)

	หน้า
ภาพที่ 6.1 สมุดเพลิงงานของระบบก่อนการปรับปรุง	70
ภาพที่ 6.2 สมุดเพลิงงานของระบบหลังการปรับปรุง	73
ภาพที่ 6.3 สมุดเพลิงงานหลังหุ้นชนวน	75
ภาพที่ 6.4 เตาเผาเก่าหลังการหุ้นชนวน	76
ภาพที่ 6.5 การหาผลประหัคเชื้อเพลิงฝุ่นชานอ้อยหลังการหุ้นชนวน	76
ภาพที่ 6.6 การวัดค่าความชื้นในห้องทดลอง	79
ภาพที่ 6.7 (ก) เครื่องวัดความชื้นไม้แบบเข็มเจาะและ (ข) เครื่องวิเคราะห์ความชื้นแบบอบวัด	79
ภาพที่ 6.8 การวัดค่าความชื้นในการทดลองจริง	79
ภาพที่ 6.9 ความสัมพันธ์ของความชื้นชานอ้อยก่อนอนกับค่าแรงดันไฟฟ้าที่อ่านได้	81
จากระบบอัตโนมัติ	
ภาพที่ 6.10 ความสัมพันธ์ของค่าแรงดันไฟฟ้าที่อ่านได้จากระบบอัตโนมัติกับความเร็วรอบระบบลำเลียง	81
ภาพที่ 6.11 ตำแหน่งติดตั้งอุปกรณ์ต่อเชื่อมเครื่องวัดความชื้น	82
ภาพที่ 6.12 ตำแหน่งติดตั้งหัวไฟรับวัดความชื้นชานอ้อยก่อนอน	82
ภาพที่ 6.13 การเปรียบเทียบความสัมพันธ์ของความเร็วรอบระบบลำเลียงกับความชื้นชานอ้อยเข้าอนก่อนและหลังการปรับปรุง	83
ภาพที่ 6.14 ความสัมพันธ์ของปริมาณเชื้อเพลิงกับความชื้นชานอ้อยเข้าอบ	84
ภาพที่ 6.15 การหาผลประหัคเชื้อเพลิงฝุ่นชานอ้อยหลังการปรับปรุงความเร็วรอบระบบลำเลียง	84
ภาพที่ ก-1 เตาอบแห้งชานอ้อยขันตัน (Pre-dryer) ประกอบไปด้วย 1 Silo; 2 Blower; 3 Furnace; 4 Cyclone; 5 Ash collector; 6 Old furnace; 7 Bagasse bin; 8 Drying chamber; 9 Cyclone; 10 Blower; 11 Main drying	93
ภาพที่ ก-2 ภาพจำลองระบบของเตาอบแห้งชานอ้อยขันตัน (Pre-dryer)	93
ภาพที่ ก-3 ไซโโล (1)	94
ภาพที่ ก-4 Blower (2)	94
ภาพที่ ก-5 เตาเผาซีมวลจากชานอ้อย (3)	95
ภาพที่ ก-6 (ก) ไซโคลน (4) และ (ข) ถังเก็บเชื้อต้อ (5)	95
ภาพที่ ก-7 เตาเผาเก่า (6)	96
ภาพที่ ก-8 Blower (10)	96
ภาพที่ ก-9 กระบวนการอบแห้งชานอ้อยหลัก (11)	96
ภาพที่ ช-1 ความสัมพันธ์ของปริมาณเชื้อเพลิงฝุ่นชานอ้อยกับปริมาณความชื้นที่ระเหยไปในการอบ	138

สารบัญภาพ (ต่อ)

	หน้า
ภาพที่ ๗-๒ ความสัมพันธ์ของปริมาณเชือกเหล็กผุนชานอ้อยกับปริมาณน้ำที่ระเหยไปในการอบ	139
ภาพที่ ๗-๓ ความสัมพันธ์ของความเร็วรอบระบบลำเลียงเชือกเหล็กผุนชานอ้อย กับปริมาณน้ำที่ระเหยไปในการอบ	139
ภาพที่ ๗-๔ ความสัมพันธ์ของความเร็วรอบระบบลำเลียงเชือกเหล็กผุนชานอ้อย กับความชื้นชานอ้อยของอก	140
ภาพที่ ๗-๕ กราฟความสัมพันธ์ของความเร็วรอบของระบบลำเลียงผุนชานอ้อย กับความชื้นชานอ้อยเข้าอบ	142